

Semestrální zkouška ISS/ISSk, řádný termín, 15.1.2024, skupina A

Login: Příjmení a jméno: Podpis:
(prosím čitelně!)

Příklad 1 V tabulce jsou dány dva diskrétní signály o délce $N = 3$. Vypočítejte a запиšte všechny nenulové vzorky jejich lineární konvoluce $y[n] = x_1[n] * x_2[n]$. Pozor, tabulku budete možná muset rozšířit.

n	0	1	2	3	4
$x_1[n]$	1	2	3		
$x_2[n]$	1	-1	1		
$y[n]$	1	1	2	-1	3

Příklad 2 Napište podmínku, kterou musí splňovat impulsní odezva $h[n]$ kauzálního číslicového filtru.

$$h[n] = 0 \text{ pro } n < 0.$$

Příklad 3 Je dán číslicový filtr 4. řádu s přenosovou funkcí $H(z) = \frac{1+b_1z^{-1}+b_2z^{-2}+b_3z^{-3}+b_4z^{-4}}{1+a_1z^{-1}+a_2z^{-2}+a_3z^{-3}+a_4z^{-4}}$. Pro jeho implementaci máte k dispozici jen bloky 2. řádu, které můžete řetězit za sebou. Jeden blok 2. řádu má přenosovou funkci $H_k(z) = \frac{1+b_{k1}z^{-1}+b_{k2}z^{-2}}{1+a_{k1}z^{-1}+a_{k2}z^{-2}}$. Kolik takových bloků budete potřebovat a jak určíte jejich koeficienty a_{ki} , b_{ki} ? Není potřeba psát veškerou matematiku, stačí popsat základní myšlenku.

2 bloky

$$H(z) = \frac{(z-m_1)(z-m_2)(z-m_3)(z-m_4)}{(z-p_1)(z-p_2)(z-p_3)(z-p_4)}$$

↓ $b_{k1}, b_{k2}, a_{k1}, a_{k2}$ ↓ $b_{k1}, b_{k2}, a_{k1}, a_{k2}$

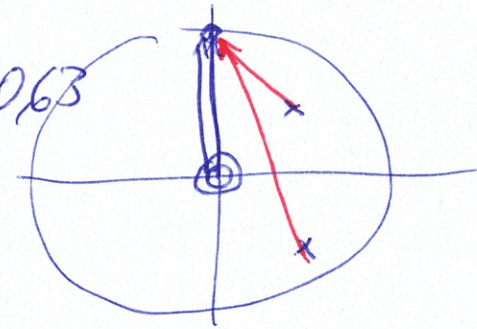
1. faktorizace
2. výběr komplex sdružených nul a pólů
3. převod na koef. filtrů

Příklad 4 Číslicový filtr má dva nulové body: $n_1 = 0$ a $n_2 = 0$ a dva póly: $p_1 = 0.5 + 0.5j$ a $p_2 = 0.5 - 0.5j$. Určete modul jeho frekvenční charakteristiky na normované kruhové frekvenci $\omega_1 = \frac{\pi}{2}$ rad.

Pomůcka: $\frac{1}{\sqrt{0.5^2+0.5^2}} = 1.41$, $\frac{1}{\sqrt{0.5^2+1.5^2}} = 0.63$.

$$|H| = \frac{1 \cdot 1}{\sqrt{0.5^2+0.5^2} \cdot \sqrt{0.5^2+1.5^2}} = 1.41 \cdot 0.63$$

$$|H(e^{j\omega_1})| = \underline{0.896} \text{ (přesně } 0.896 \dots)$$



Příklad 5 V programu byla odhadnuta funkce hustoty rozdělení pravděpodobnosti $p(x)$. Její hodnoty jsou uloženy v poli px , které má N prvků. Hodnoty parametru x jsou uloženy v poli x , které má také N prvků. Hodnoty v x stoupají rovnoměrně, vzdálenost mezi nimi je v proměnné Δ . Napište kód v C, Python/Numpy nebo pseudokód pro určení střední hodnoty.

$$a = \int x p(x) dx$$

nebo $a = \Delta * np.sum(x * px)$
 nebo $\Delta * np.dot(x, px)$, atd.

Příklad 6 Ve vektoru x o délce $N = 200$ jsou vzorky ergodického náhodného signálu (pozor, v minulém cvičení byl x parametr funkce hustoty, teď je to signál). Máte k dispozici funkce pro výpočet FFT a autokorelace. Napište kód v C, Python/Numpy nebo pseudokód pro odhad a zobrazení spektrální hustoty výkonu $G_x(e^{j\omega})$ pro normované kruhové frekvence ω od 0 rad do π rad.

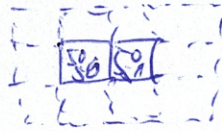
$X = \text{np.fft}(x)$
 $G = X * \text{np.conj}(X) / N$
 $\text{om} = \text{np.linspace}(0, \text{np.pi}, N/2)$
 $\text{plot}(\text{om}, G[0:(N/2)])$

dalsi možné řešení
 v B

Příklad 7 Popište, jak se liší 2D-DFT $X[m, n] = \sum_{k=0}^{K-1} \sum_{l=0}^{L-1} x[k, l] e^{-j2\pi(\frac{mk}{K} + \frac{nl}{L})}$ od 2D-DCT $X[m, n] = \sum_{k=0}^{K-1} \sum_{l=0}^{L-1} x[k, l] \cos[\frac{\pi}{K}(k + \frac{1}{2})m] \cos[\frac{\pi}{L}(l + \frac{1}{2})n]$. Zaměřte se na charakter a frekvence bází a na charakter a případné symetrie ve výstupu $X[m, n]$.

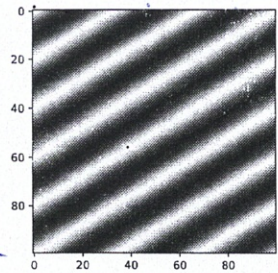
	2D-DFT	2D-DCT
báze	komplexní	reálné
frekvence bází	dvoj násobek předchozí	1,5 násobek předchozí
výstup	$K \times L$ komplexních čísel, spousta symetrií	$K \times L$ reálných čísel, žádné symetrie

Příklad 8 Obrázek $x[k, l]$ o rozměrech $K = 100$ krát $L = 100$ pixelů obsahuje dva bílé pixely: $x[50, 50] = 1$, $x[50, 51] = 1$, ostatní jsou nulové. Obrázek je filtrován 2D-filtrem (maskou, konvolučním jádrem) o rozměrech 3×3 , jehož všechny prvky mají hodnotu $\frac{1}{9}$. Určete počet nenulových pixelů ve výsledném obrázku.



12 nenulových pixelů
 počet period vzhle

Příklad 9 Na obrázku je zobrazena reálná složka báze 2D-DFT $X[m, n] = \sum_{k=0}^{K-1} \sum_{l=0}^{L-1} x[k, l] e^{-j2\pi(\frac{mk}{K} + \frac{nl}{L})}$. Černá odpovídá hodnotě -1, bílá +1. Určete, který koeficient 2D-DFT $X[m, n]$ bude tato báze počítat.

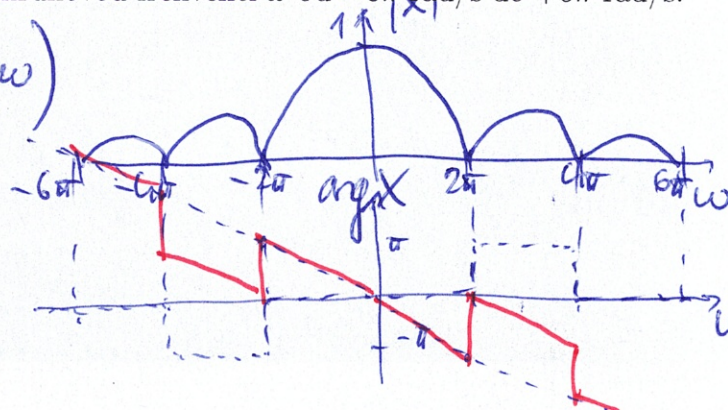


$m = 5$, $n = 3$

počet period vodorovně

Příklad 10 Nakreslete do obrázků pod sebe modulovou i argumentovou část spektrální funkce $X(j\omega)$ signálu se spojitým časem – posunutého obdélníkového impulsu: $x(t) = \begin{cases} 1 & \text{pro } 0 \leq t \leq 1 \\ 0 & \text{jinde} \end{cases}$. Všechny časy jsou v sekundách. Doporučuji kreslit pro kruhovou frekvenci ω od -6π rad/s do $+6\pi$ rad/s. Osy řádně označte a uveďte přesně hodnoty na nich.

$X(j\omega) = \int_0^1 e^{-j\omega t} dt = \frac{1 - e^{-j\omega}}{-j\omega} = 1 \cdot \frac{1 - e^{-j\omega}}{-j\omega}$
 $\frac{1}{2}\omega = \pi$ $\omega = 2\pi$
 posun 0, $\tau = -0,5 \text{ sec} \Rightarrow$
 sklopení fáze $\sigma = -0,5\omega$



Příklad 11 V programu je pole X o rozměrech 512×512 naplněné hodnotami Laplaceovy transformace $X(s)$ signálu se spojitým časem $x(t)$ (signál nemáte k dispozici). Reálná složka proměnné s byla vygerována jako 512 hodnot od -5 do $+5$ a určuje hlavní (řádkový) index pole X , imaginární složka proměnné s byla vygerována také jako 512 hodnot od -5 do $+5$ a určuje vedlejší (sloupcový) index pole X . Napište (kód nebo vysvětlení), jak naplníte vektor $X_{j\omega}$, kde bude spektrální funkce $X(j\omega)$ signálu $x(t)$.

$$X(j\omega) = X(s) \Big|_{s=j\omega}$$

musíme tedy vybrat hodnoty pro reálnou složku 0 a "projit" všechny imaginární $s = j\omega$

$$X_{j\omega} = X[:, 256]$$

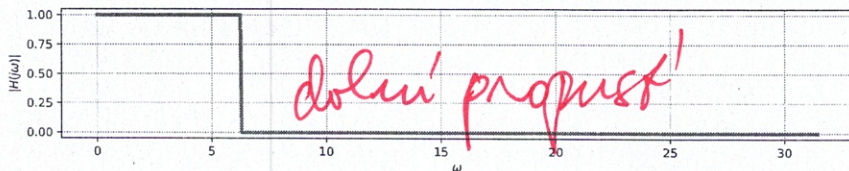
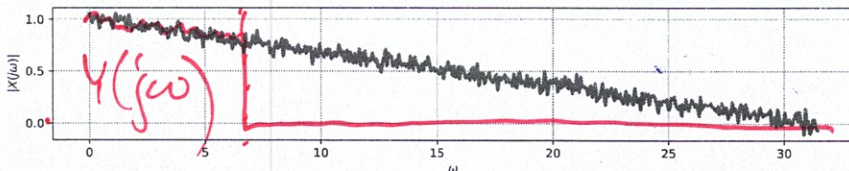
Příklad 12 Přenosová funkce systému se spojitým časem je $H(s) = \frac{0.5s-1}{0.5s+1}$. Napište výraz pro frekvenční charakteristiku takového systému.

$$H(j\omega) = \frac{0.5j\omega - 1}{0.5j\omega + 1}$$

Příklad 13 Krátce vysvětlete, jak se v diferenciální rovnici popisující chování systému se spojitým časem mohou objevit derivace. Opsání diferenciální rovnice ze seznamu rovnic nebo pouhé uvedení příkladu diferenciální rovnice nepovažují za vysvětlení

např. proud kondenzátorem $i(t) = C \frac{du(t)}{dt}$, polebné pro indukčnosti. Pokud je těchto komponentů více \Rightarrow derivace vyšších řádů. To stejné pro mechanické systémy, atd.

Příklad 14 Na prvním obrázku je modul spektrální funkce $X(j\omega)$ signálu na vstupu systému se spojitým časem. Na druhém obrázku je modul frekvenční charakteristiky systému $H(j\omega)$. Nakreslete modul spektrální funkce $Y(j\omega)$ na výstupu systému. Můžete kreslit do kteréhokoliv z obrázků.



$$Y(j\omega) = X(j\omega) \cdot H(j\omega)$$

součin

Příklad 15 Dokažte, že jednocestný usměrňovač $y(t) = \begin{cases} x(t) & \text{pro } x(t) \geq 0 \\ 0 & \text{pro } x(t) < 0 \end{cases}$ není lineární tak, že na příkladu ukážete porušení podmínky linearity: $x_1(t) \rightarrow y_1(t)$, $x_2(t) \rightarrow y_2(t) \Rightarrow ax_1(t) + bx_2(t) \rightarrow ay_1(t) + by_2(t)$.

např. $a=1, b=1, x_1(t)=5, x_2(t)=-5$
 $y_1(t)=5, y_2(t)=0$

$y(t)$ pro mix $ax_1(t) + bx_2(t) = 0$ je 0
 mix $ay_1(t) + by_2(t) = 1.5 + 1.0 = 5$ \Rightarrow nelineární

Příklad 16 Napište impulsní odezvu $h[n]$ diskrétního systému (číslíkového filtru), který převrací hodnotu a zpožďuje vstup: $y[n] = -x[n-2]$.

n	0	1	2
$h[n]$	0	0	-1

Příklad 17 Odvoďte vztah pro numerický výpočet Fourierovy řady spojitého periodického signálu $x(t)$ s periodou T_1 . Pomůcka: počítejte s tím, že máte navzorkovanou přesně jednu periodu signálu a že počet získaných vzorků je N . Pokud ve výsledku vyjde diskrétní Fourierova transformace (DFT), jasně ji vyznačte.

$$c_k = \frac{1}{T_1} \int_0^{T_1} x(t) e^{-jk\omega_1 t} dt = \frac{1}{NT_s} \sum_{n=0}^{N-1} x(nT_s) e^{-jk \frac{2\pi}{N} n T_s} = \frac{1}{N} \sum_{n=0}^{N-1} x[n] e^{-j \frac{2\pi}{N} kn}$$

základní (vzorková) frekvence $\frac{2\pi}{T_1}$
numerická integrace

Příklad 18 Napište kód v C, Python/Numpy nebo pseudokód pro vygenerování signálu s diskrétním časem, který při přehrání na vzorkovací frekvenci $F_s = 44.1$ kHz bude kosinůvka na frekvenci $f_1 = 250$ Hz s trváním 2 sekundy. Výsledek nechte v poli x . Určení počtu vzorků je součástí řešení.

```

Fs = 44100
n = np.arange(2 * Fs)
x = np.cos(2 * np.pi * (250 / Fs) * n)
    
```

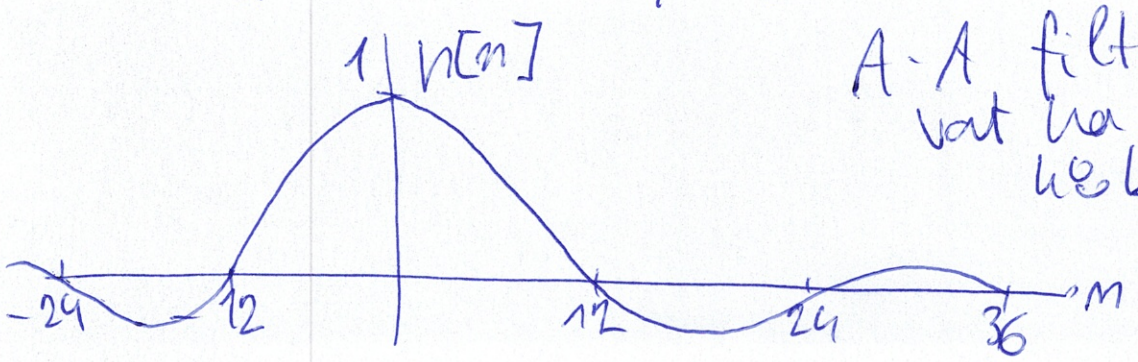
normovaná vzorkovací frekvence normovaná frekvence

Příklad 19 Napište matematicky navzorkovaný signál $x_s(t)$, který vznikne násobením vzorkovaného signálu $x(t)$ se vzorkovacím signálem $s(t) = \sum_{n=-\infty}^{+\infty} \delta(t - nT_s)$, kde T_s je vzorkovací perioda. Napsat $x_s(t) = x(t)s(t)$ nestačí, výsledek chci jako jednu sumu.

$$x_s(t) = \sum_{n=-\infty}^{+\infty} x(nT_s) \delta(t - nT_s)$$

Diracův vzorkovací signál pro násobky nT_s

Příklad 20 Nakreslete impulsní odezvu $h_{aa}[n]$ anti-aliasingového filtru pro podvzorkování (downsampling) diskrétního signálu vzorkovaného na $F_{s1} = 48$ kHz na nižší vzorkovací frekvenci $F_{s2} = 4$ kHz. Přesně napište, na které vzorkovací frekvenci bude anti-aliasingový filtr pracovat, přesně popište osy v obrázku. $48/4 = 12 \rightarrow$ každý 12. vzorek



A.A. filtr musí pracovat na vyšší $F_s = 48$ kHz

Semestrální zkouška ISS/ISSk, řádný termín, 15.1.2024, skupina B

Login: Příjmení a jméno: Podpis:
(prosím čitelně!)

Příklad 1 V tabulce jsou dány dva diskrétní signály o délce $N = 3$. Vypočítejte a zapište všechny nenulové vzorky jejich lineární konvoluce $y[n] = x_1[n] \star x_2[n]$. Pozor, tabulku budete možná muset rozšířit.

n	0	1	2	3	4
$x_1[n]$	1	2	3		
$x_2[n]$	1	-1	-1		
$y[n]$	1	1	0	-5	-3

Příklad 2 Napište podmínku, kterou musí splňovat impulsní odezva $h[n]$ kauzálního číslicového filtru.

$$h[n] = 0 \text{ pro } n < 0$$

Příklad 3 Je dán číslicový filtr 4. řádu s přenosovou funkcí $H(z) = \frac{1+b_1z^{-1}+b_2z^{-2}+b_3z^{-3}+b_4z^{-4}}{1+a_1z^{-1}+a_2z^{-2}+a_3z^{-3}+a_4z^{-4}}$. Pro jeho implementaci máte k dispozici jen bloky 2. řádu, které můžete řetězit za sebou. Jeden blok 2. řádu má přenosovou funkci $H_k(z) = \frac{1+b_{k1}z^{-1}+b_{k2}z^{-2}}{1+a_{k1}z^{-1}+a_{k2}z^{-2}}$. Kolik takových bloků budete potřebovat a jak určíte jejich koeficienty a_{ki} , b_{ki} ? Není potřeba psát veškerou matematiku, stačí popsat základní myšlenku.

Viz A

Příklad 4 Číslicový filtr má dva nulové body: $n_1 = 0$ a $n_2 = 0$ a dva póly: $p_1 = 0.5+0.5j$ a $p_2 = 0.5-0.5j$. Určete modul jeho frekvenční charakteristiky na normované kruhové frekvenci $\omega_1 = \frac{\pi}{2}$ rad.

Pomůcka: $\frac{1}{\sqrt{0.5^2+0.5^2}} = 1.41$, $\frac{1}{\sqrt{0.5^2+1.5^2}} = 0.63$.

Viz A

$|H(e^{j\omega_1})| = \dots\dots\dots$

Příklad 5 V programu byla odhadnuta funkce hustoty rozdělení pravděpodobnosti $p(x)$. Její hodnoty jsou uloženy v poli `px`, které má N prvků. Hodnoty parametru x jsou uloženy v poli `x`, které má také N prvků. Hodnoty v `x` stoupají rovnoměrně, vzdálenost mezi nimi je v proměnné `Delta`. Napište kód v C, Python/Numpy nebo pseudokód pro určení střední hodnoty.

Viz A

odš: možné řešení v A 5

Příklad 6 Ve vektoru x o délce $N = 200$ jsou vzorky ergodického náhodného signálu (pozor, v minulém cvičení byl x parametr funkce hustoty, teď je to signál). Máte k dispozici funkce pro výpočet FFT a autokorelace. Napište kód v C, Python/Numpy nebo pseudokód pro odhad a zobrazení spektrální hustoty výkonu $G_x(e^{j\omega})$ pro normované kruhové frekvence ω od 0 rad do π rad.

```

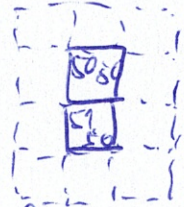
R = mp.correlate(x)
R = mp.fftshift(R)
om = mp.linspace(0, mp.pi, N)
G = mp.fft(R)
plot(om, G[0:N])
plot(om, mp.real(G[0:N]))
    
```

jako správně bereme i bez tohoto

Příklad 7 Popište, jak se liší 2D-DFT $X[m, n] = \sum_{k=0}^{K-1} \sum_{l=0}^{L-1} x[k, l] e^{-j2\pi(\frac{mk}{K} + \frac{nl}{L})}$ od 2D-DCT $X[m, n] = \sum_{k=0}^{K-1} \sum_{l=0}^{L-1} x[k, l] \cos[\frac{\pi}{K}(k + \frac{1}{2})m] \cos[\frac{\pi}{L}(l + \frac{1}{2})n]$. Zaměřte se na charakter a frekvence bázi a na charakter a případné symetrie ve výstupu $X[m, n]$.

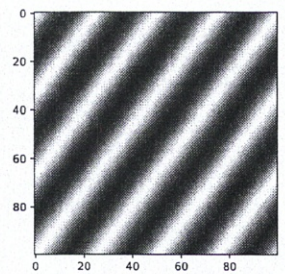
viz A

Příklad 8 Obrázek $x[k, l]$ o rozměrech $K = 100$ krát $L = 100$ pixelů obsahuje dva bílé pixely: $x[50, 50] = 1$, $x[51, 50] = 1$, ostatní jsou nulové. Obrázek je filtrován 2D-filtrem (maskou, konvolučním jádrem) o rozměrech 3×3 , jehož všechny prvky mají hodnotu $\frac{1}{9}$. Určete počet nenulových pixelů ve výsledném obrázku.



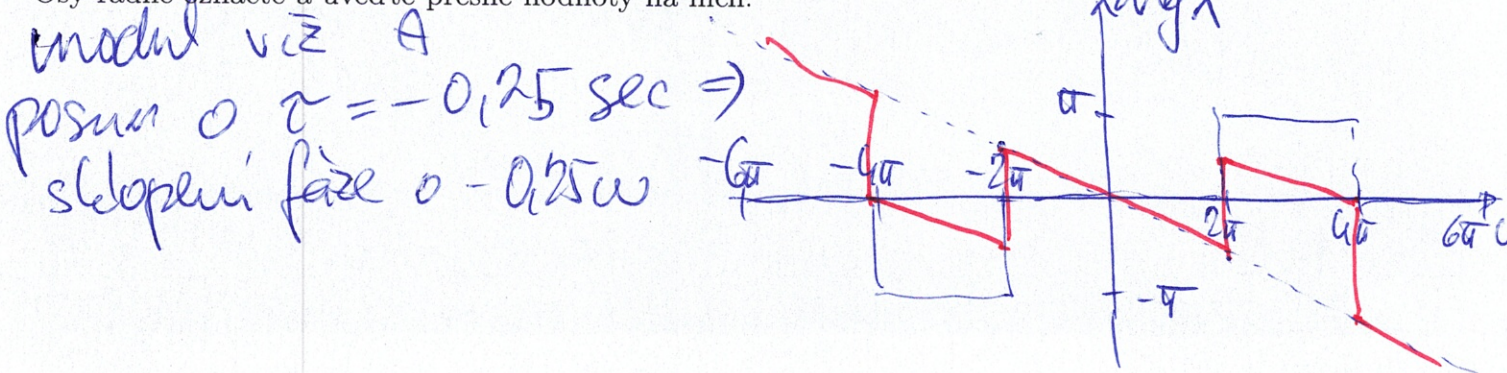
12 nenulových pixelů

Příklad 9 Na obrázku je zobrazena reálná složka báze 2D-DFT $X[m, n] = \sum_{k=0}^{K-1} \sum_{l=0}^{L-1} x[k, l] e^{-j2\pi(\frac{mk}{K} + \frac{nl}{L})}$. Černá odpovídá hodnotě -1, bílá +1. Určete, který koeficient 2D-DFT $X[m, n]$ bude tato báze počítat.



$m = 3$, $n = 4$ viz A

Příklad 10 Nakreslete do obrázků pod sebe modulovou i argumentovou část spektrální funkce $X(j\omega)$ signálu se spojitým časem – posunutého obdélníkového impulsu: $x(t) = \begin{cases} 1 & \text{pro } -0.25 \leq t \leq 0.75 \\ 0 & \text{jinde} \end{cases}$. Všechny časy jsou v sekundách. Doporučuji kreslit pro kruhovou frekvenci ω od -6π rad/s do $+6\pi$ rad/s. Osy řádně označte a uveďte přesně hodnoty na nich.



Příklad 11 V programu je pole X o rozměrech 512×512 naplněné hodnotami Laplaceovy transformace $X(s)$ signálu se spojitým časem $x(t)$ (signál nemáte k dispozici). Reálná složka proměnné s byla vygerována jako 512 hodnot od -5 do +5 a určuje hlavní (řádkový) index pole X , imaginární složka proměnné s byla vygerována také jako 512 hodnot od -5 do +5 a určuje vedlejší (sloupcový) index pole X . Napište (kód nebo vysvětlení), jak naplníte vektor $X_{j\omega}$, kde bude spektrální funkce $X(j\omega)$ signálu $x(t)$.

viz A

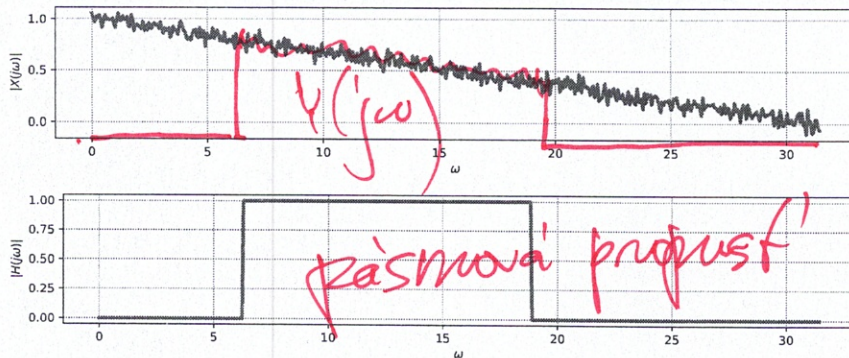
Příklad 12 Přenosová funkce systému se spojitým časem je $H(s) = \frac{s-1}{0.5s+1}$. Napište výraz pro frekvenční charakteristiku takového systému.

$$H(j\omega) = \frac{j\omega - 1}{0.5j\omega + 1}$$

Příklad 13 Krátce vysvětlete, jak se v diferenciální rovnici popisující chování systému se spojitým časem mohou objevit derivace. Opsání diferenciální rovnice ze seznamu rovnic nebo pouhé uvedení příkladu diferenciální rovnice nepovažují za vysvětlení.

viz A

Příklad 14 Na prvním obrázku je modul spektrální funkce $X(j\omega)$ signálu na vstupu systému se spojitým časem. Na druhém obrázku je modul frekvenční charakteristiky systému $H(j\omega)$. Nakreslete modul spektrální funkce $Y(j\omega)$ na výstupu systému. Můžete kreslit do kteréhokoliv z obrázků.



viz A

Příklad 15 Dokažte, že jednocestný usměrňovač $y(t) = \begin{cases} x(t) & \text{pro } x(t) \geq 0 \\ 0 & \text{pro } x(t) < 0 \end{cases}$ není lineární tak, že na příkladu ukážete porušení podmínky linearity: $x_1(t) \rightarrow y_1(t)$, $x_2(t) \rightarrow y_2(t) \Rightarrow ax_1(t) + bx_2(t) \rightarrow ay_1(t) + by_2(t)$.

viz A

Příklad 16 Napište impulsní odezvu $h[n]$ diskrétního systému (číslíkového filtru), který převrací hodnotu a zpožďuje vstup: $y[n] = -x[n-3]$.

n	0	1	2	3
$h[n]$	0	0	0	-1

Příklad 17 Odvoďte vztah pro numerický výpočet Fourierovy řady spojitého periodického signálu $x(t)$ s periodou T_1 . Pomůcka: počítejte s tím, že máte navzorkovanou přesně jednu periodu signálu a že počet získaných vzorků je N . Pokud ve výsledku vyjde diskrétní Fourierova transformace (DFT), jasně ji vyznačte.

viz A

Příklad 18 Napište kód v C, Python/Numpy nebo pseudokód pro vygenerování signálu s diskrétním časem, který při přehrání na vzorkovací frekvenci $F_s = 32000$ Hz bude cosinusovka na frekvenci $f_1 = 250$ Hz s trváním 2 sekundy. Výsledek nechte je v poli x. Určení počtu vzorků je součástí řešení.

$F_s = 32000$
dále viz A

Příklad 19 Napište matematicky navzorkovaný signál $x_s(t)$, který vznikne násobením vzorkovaného signálu $x(t)$ se vzorkovacím signálem $s(t) = \sum_{n=-\infty}^{+\infty} \delta(t - nT_s)$, kde T_s je vzorkovací perioda. Napsat $x_s(t) = x(t)s(t)$ nestačí, výsledek chci jako jednu sumu.

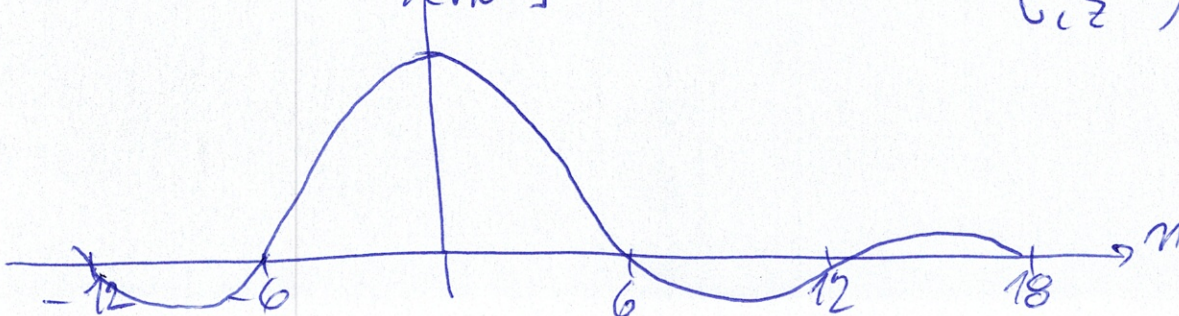
$$x_s(t) = \sum_{n=-\infty}^{+\infty} \dots\dots\dots$$

viz A

Příklad 20 Nakreslete impulsní odezvu $h_{aa}[n]$ anti-aliasingového filtru pro podvzorkování (downsampling) diskrétního signálu vzorkovaného na $F_{s1} = 48$ kHz na nižší vzorkovací frekvenci $F_{s2} = 8$ kHz. Přesně napište, na které vzorkovací frekvenci bude anti-aliasingový filtr pracovat, přesně popište osy v obrázku.

$48/8 = 6$
 $h_{aa}[n]$

viz A



Semestrální zkouška ISS/ISSk, řádný termín, 15.1.2024, skupina C

Login: Příjmení a jméno: Podpis:
(prosím čitelně!)

Příklad 1 V tabulce jsou dány dva diskrétní signály o délce $N = 3$. Vypočítejte a zapište všechny nenulové vzorky jejich lineární konvoluce $y[n] = x_1[n] \star x_2[n]$. Pozor, tabulku budete možná muset rozšířit.

n	0	1	2	3	4
$x_1[n]$	1	2	3		
$x_2[n]$	1	-1	-2		
$y[n]$	1	1	-1	-7	-6

Příklad 2 Napište podmínku, kterou musí splňovat impulsní odezva $h[n]$ nekauzálního číslicového filtru.

$h[n] \neq 0$ alespoň pro jeden vzorek $n < 0$

Příklad 3 Je dán číslicový filtr 4. řádu s přenosovou funkcí $H(z) = \frac{1+b_1z^{-1}+b_2z^{-2}+b_3z^{-3}+b_4z^{-4}}{1+a_1z^{-1}+a_2z^{-2}+a_3z^{-3}+a_4z^{-4}}$. Pro jeho implementaci máte k dispozici jen bloky 2. řádu, které můžete řetězit za sebou. Jeden blok 2. řádu má přenosovou funkci $H_k(z) = \frac{1+b_{k1}z^{-1}+b_{k2}z^{-2}}{1+a_{k1}z^{-1}+a_{k2}z^{-2}}$. Kolik takových bloků budete potřebovat a jak určíte jejich koeficienty a_{ki} , b_{ki} ? Není potřeba psát veškerou matematiku, stačí popsat základní myšlenku.

viz A

Příklad 4 Číslicový filtr má dva nulové body: $n_1 = 0$ a $n_2 = 0$ a dva póly: $p_1 = 0.5+0.5j$ a $p_2 = 0.5-0.5j$. Určete modul jeho frekvenční charakteristiky na normované kruhové frekvenci $\omega_1 = 0$ rad.

Pomůcka: $\frac{1}{\sqrt{0.5^2+0.5^2}} = 1.41$, $\frac{1}{\sqrt{0.5^2+1.5^2}} = 0.63$.

$$|H| = \frac{1 \cdot 1}{\sqrt{0.5^2+0.5^2} \cdot \sqrt{0.5^2+0.5^2}} = \frac{1}{2 \cdot 2} = 2$$

Příklad 5 V programu byla odhadnuta funkce hustoty rozdělení pravděpodobnosti $p(x)$. Její hodnoty jsou uloženy v poli px , které má N prvků. Hodnoty parametru x jsou uloženy v poli x , které má také N prvků. Hodnoty v x stoupají rovnoměrně, vzdálenost mezi nimi je v proměnné Δ . Napište kód v C, Python/NumPy nebo pseudokód pro určení střední hodnoty.

viz A

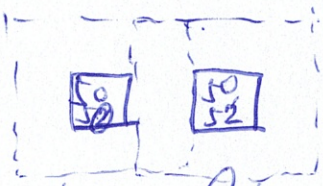
Příklad 6 Ve vektoru x o délce $N = 200$ jsou vzorky ergodického náhodného signálu (pozor, v minulém cvičení byl x parametr funkce hustoty, teď je to signál). Máte k dispozici funkce pro výpočet FFT a autokorelace. Napište kód v C, Python/Numpy nebo pseudokód pro odhad a zobrazení spektrální hustoty výkonu $G_x(e^{j\omega})$ pro normované kruhové frekvence ω od 0 rad do π rad.

viz A/B

Příklad 7 Popište, jak se liší 2D-DFT $X[m, n] = \sum_{k=0}^{K-1} \sum_{l=0}^{L-1} x[k, l] e^{-j2\pi(\frac{mk}{K} + \frac{nl}{L})}$ od 2D-DCT $X[m, n] = \sum_{k=0}^{K-1} \sum_{l=0}^{L-1} x[k, l] \cos[\frac{\pi}{K}(k + \frac{1}{2})m] \cos[\frac{\pi}{L}(l + \frac{1}{2})n]$. Zaměřte se na charakter a frekvence bázi a na charakter a případné symetrie ve výstupu $X[m, n]$.

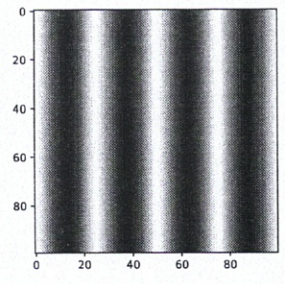
viz A

Příklad 8 Obrázek $x[k, l]$ o rozměrech $K = 100$ krát $L = 100$ pixelů obsahuje dva bílé pixely: $x[50, 50] = 1$, $x[50, 52] = 1$, ostatní jsou nulové. Obrázek je filtrován 2D-filtrem (maskou, konvolučním jádrem) o rozměrech 3×3 , jehož všechny prvky mají hodnotu $\frac{1}{9}$. Určete počet nenulových pixelů ve výsledném obrázku.



15 nenulových pixelů

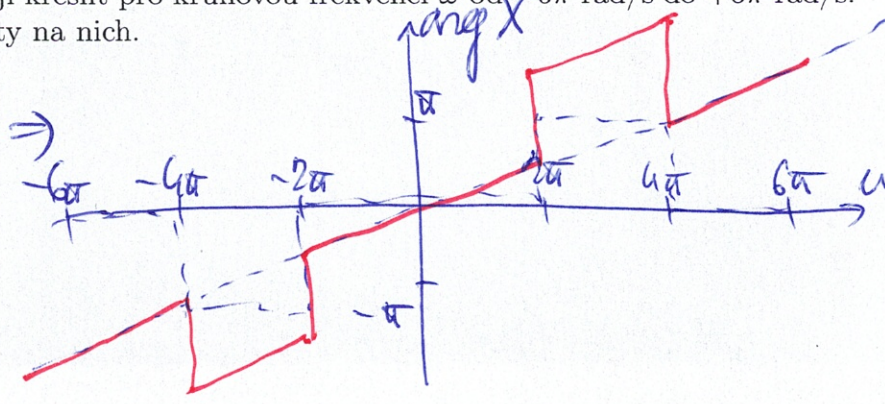
Příklad 9 Na obrázku je zobrazena reálná složka báze 2D-DFT $X[m, n] = \sum_{k=0}^{K-1} \sum_{l=0}^{L-1} x[k, l] e^{-j2\pi(\frac{mk}{K} + \frac{nl}{L})}$. Černá odpovídá hodnotě -1, bílá +1. Určete, který koeficient 2D-DFT $X[m, n]$ bude tato báze počítat.



$m = 0$, $n = 4$ viz A

Příklad 10 Nakreslete do obrázků pod sebe modulovou i argumentovou část spektrální funkce $X(j\omega)$ signálu se spojitým časem – posunutého obdélníkového impulsu: $x(t) = \begin{cases} 1 & \text{pro } -0.75 \leq t \leq 0.25 \\ 0 & \text{jinde} \end{cases}$. Všechny časy jsou v sekundách. Doporučuji kreslit pro kruhovou frekvenci ω od -6π rad/s do $+6\pi$ rad/s. Osy řádně označte a uveďte přesně hodnoty na nich.

modul viz A
posun o $\tau = +0,25 \text{ sec}$
vyklopení fáze o $+0,25\omega$



Příklad 11 V programu je pole X o rozměrech 512×512 naplněné hodnotami Laplaceovy transformace $X(s)$ signálu se spojitým časem $x(t)$ (signál nemáte k dispozici). Reálná složka proměnné s byla vygerována jako 512 hodnot od -5 do $+5$ a určuje hlavní (řádkový) index pole X , imaginární složka proměnné s byla vygerována také jako 512 hodnot od -5 do $+5$ a určuje vedlejší (sloupcový) index pole X . Napište (kód nebo vysvětlení), jak naplníte vektor $X_{j\omega}$, kde bude spektrální funkce $X(j\omega)$ signálu $x(t)$.

viz A

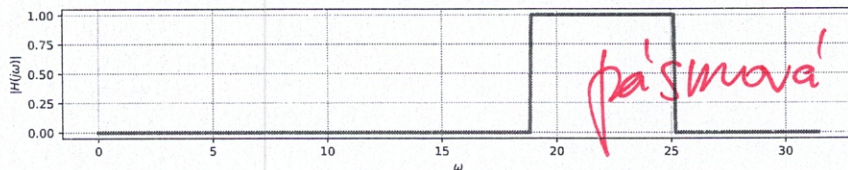
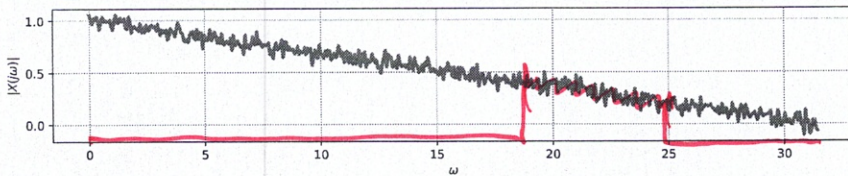
Příklad 12 Přenosová funkce systému se spojitým časem je $H(s) = \frac{0.5s-1}{s+1}$. Napište výraz pro frekvenční charakteristiku takového systému.

$$H(j\omega) = \frac{0.5j\omega - 1}{j\omega + 1}$$

Příklad 13 Krátce vysvětlete, jak se v diferenciální rovnici popisující chování systému se spojitým časem mohou objevit derivace. Opsání diferenciální rovnice ze seznamu rovnic nebo pouhé uvedení příkladu diferenciální rovnice nepovažují za vysvětlení.

viz A

Příklad 14 Na prvním obrázku je modul spektrální funkce $X(j\omega)$ signálu na vstupu systému se spojitým časem. Na druhém obrázku je modul frekvenční charakteristiky systému $H(j\omega)$. Nakreslete modul spektrální funkce $Y(j\omega)$ na výstupu systému. Můžete kreslit do kteréhokoliv z obrázků.



viz A

pasímová propust'

Příklad 15 Dokažte, že jednocestný usměrňovač $y(t) = \begin{cases} x(t) & \text{pro } x(t) \geq 0 \\ 0 & \text{pro } x(t) < 0 \end{cases}$ není lineární tak, že na příkladu ukážete porušení podmínky linearity: $x_1(t) \rightarrow y_1(t)$, $x_2(t) \rightarrow y_2(t) \Rightarrow ax_1(t) + bx_2(t) \rightarrow ay_1(t) + by_2(t)$.

viz A

Příklad 16 Napište impulsní odezvu $h[n]$ diskrétního systému (číslicového filtru), který převrací hodnotu a zpožďuje vstup: $y[n] = -x[n-4]$.

n	0	1	2	3	4
$h[n]$	0	0	0	0	-1

Příklad 17 Odvoďte vztah pro numerický výpočet Fourierovy řady spojitého periodického signálu $x(t)$ s periodou T_1 . Pomůcka: počítejte s tím, že máte navzorkovanou přesně jednu periodu signálu a že počet získaných vzorků je N . Pokud ve výsledku vyjde diskrétní Fourierova transformace (DFT), jasně ji vyznačte.

viz A

Příklad 18 Napište kód v C, Python/Numpy nebo pseudokód pro vygenerování signálu s diskrétním časem, který při přehrání na vzorkovací frekvenci $F_s = 16000$ Hz bude cosinusovka na frekvenci $f_1 = 250$ Hz s trváním 2 sekundy. Výsledek nechte je v poli x . Určení počtu vzorků je součástí řešení.

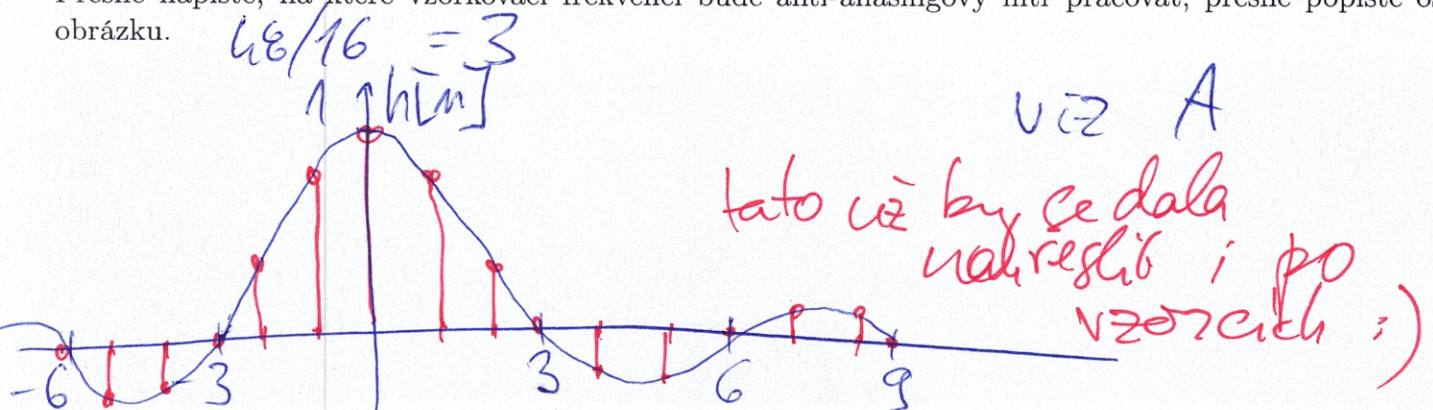
$F_s = 16000$
dále viz A

Příklad 19 Napište matematicky navzorkovaný signál $x_s(t)$, který vznikne násobením vzorkovaného signálu $x(t)$ se vzorkovacím signálem $s(t) = \sum_{n=-\infty}^{+\infty} \delta(t - nT_s)$, kde T_s je vzorkovací perioda. Napsat $x_s(t) = x(t)s(t)$ nestačí, výsledek chci jako jednu sumu.

$$x_s(t) = \sum_{n=-\infty}^{+\infty} \dots$$

viz A

Příklad 20 Nakreslete impulsní odezvu $h_{aa}[n]$ anti-aliasingového filtru pro podvzorkování (downsampling) diskrétního signálu vzorkovaného na $F_{s1} = 48$ kHz na nižší vzorkovací frekvenci $F_{s2} = 16$ kHz. Přesně napište, na které vzorkovací frekvenci bude anti-aliasingový filtr pracovat, přesně popište osy v obrázku.



Semestrální zkouška ISS/ISSk, řádný termín, 15.1.2024, skupina D

Login: Příjmení a jméno: Podpis:
(prosím čitelně!)

Příklad 1 V tabulce jsou dány dva diskrétní signály o délce $N = 3$. Vypočtete a zapište všechny nenulové vzorky jejich lineární konvoluce $y[n] = x_1[n] * x_2[n]$. Pozor, tabulku budete možná muset rozšířit.

n	0	1	2	3	4
$x_1[n]$	1	2	3		
$x_2[n]$	1	-1	2		
$y[n]$	1	1	3	1	6

Příklad 2 Napište podmínku, kterou musí splňovat impulsní odezva $h[n]$ nekauzálního číslicového filtru.

$h[n] \neq 0$ alespoň pro jeden vzorek $n < 0$

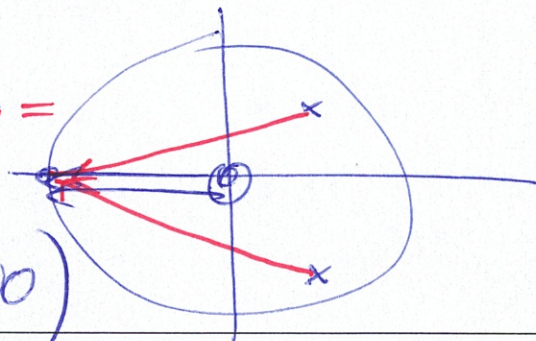
Příklad 3 Je dán číslicový filtr 4. řádu s přenosovou funkcí $H(z) = \frac{1+b_1z^{-1}+b_2z^{-2}+b_3z^{-3}+b_4z^{-4}}{1+a_1z^{-1}+a_2z^{-2}+a_3z^{-3}+a_4z^{-4}}$. Pro jeho implementaci máte k dispozici jen bloky 2. řádu, které můžete řetězit za sebou. Jeden blok 2. řádu má přenosovou funkci $H_k(z) = \frac{1+b_{k1}z^{-1}+b_{k2}z^{-2}}{1+a_{k1}z^{-1}+a_{k2}z^{-2}}$. Kolik takových bloků budete potřebovat a jak určíte jejich koeficienty a_{ki} , b_{ki} ? Není potřeba psát veškerou matematiku, stačí popsat základní myšlenku.

viz A

Příklad 4 Číslicový filtr má dva nulové body: $n_1 = 0$ a $n_2 = 0$ a dva póly: $p_1 = 0.5+0.5j$ a $p_2 = 0.5-0.5j$. Určete modul jeho frekvenční charakteristiky na normované kruhové frekvenci $\omega_1 = \pi$ rad.

Pomůcka: $\frac{1}{\sqrt{0.5^2+0.5^2}} = 1.41$, $\frac{1}{\sqrt{0.5^2+1.5^2}} = 0.63$.

$$|H| = \frac{1 \cdot 1}{\sqrt{0.5^2+1.5^2} \cdot \sqrt{0.5^2+0.5^2}} = (0.63)^2 = 0.36 \quad (\text{přesně } 0.400)$$



Příklad 5 V programu byla odhadnuta funkce hustoty rozdělení pravděpodobnosti $p(x)$. Její hodnoty jsou uloženy v poli px , které má N prvků. Hodnoty parametru x jsou uloženy v poli x , které má také N prvků. Hodnoty v x stoupají rovnoměrně, vzdálenost mezi nimi je v proměnné Δ . Napište kód v C, Python/Numpy nebo pseudokód pro určení střední hodnoty.

viz A

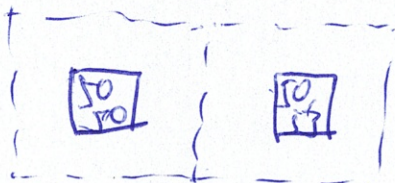
Příklad 6 Ve vektoru x o délce $N = 200$ jsou vzorky ergodického náhodného signálu (pozor, v minulém cvičení byl x parametr funkce hustoty, teď je to signál). Máte k dispozici funkce pro výpočet FFT a autokorelace. Napište kód v C, Python/Numpy nebo pseudokód pro odhad a zobrazení spektrální hustoty výkonu $G_x(e^{j\omega})$ pro normované kruhové frekvence ω od 0 rad do π rad.

viz A/B

Příklad 7 Popište, jak se liší 2D-DFT $X[m, n] = \sum_{k=0}^{K-1} \sum_{l=0}^{L-1} x[k, l] e^{-j2\pi(\frac{mk}{K} + \frac{nl}{L})}$ od 2D-DCT $X[m, n] = \sum_{k=0}^{K-1} \sum_{l=0}^{L-1} x[k, l] \cos[\frac{\pi}{K}(k + \frac{1}{2})m] \cos[\frac{\pi}{L}(l + \frac{1}{2})n]$. Zaměřte se na charakter a frekvence bázi a na charakter a případné symetrie ve výstupu $X[m, n]$.

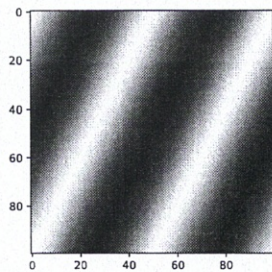
viz A

Příklad 8 Obrázek $x[k, l]$ o rozměrech $K = 100$ krát $L = 100$ pixelů obsahuje dva bílé pixely: $x[50, 50] = 1$, $x[50, 53] = 1$, ostatní jsou nulové. Obrázek je filtrován 2D-filtrem (maskou, konvolučním jádrem) o rozměrech 3×3 , jehož všechny prvky mají hodnotu $\frac{1}{9}$. Určete počet nenulových pixelů ve výsledném obrázku.



18 nenulových pixelů

Příklad 9 Na obrázku je zobrazena reálná složka báze 2D-DFT $X[m, n] = \sum_{k=0}^{K-1} \sum_{l=0}^{L-1} x[k, l] e^{-j2\pi(\frac{mk}{K} + \frac{nl}{L})}$. Černá odpovídá hodnotě -1, bílá +1. Určete, který koeficient 2D-DFT $X[m, n]$ bude tato báze počítat.

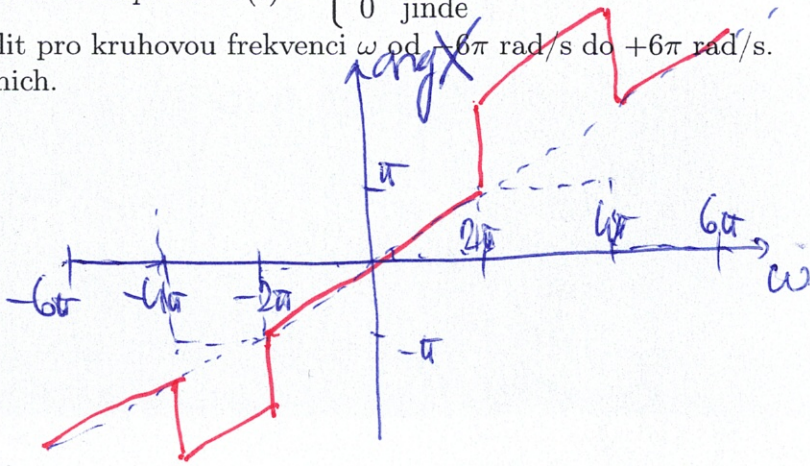


$m = 1$, $n = 2$

viz A

Příklad 10 Nakreslete do obrázků pod sebe modulovou i argumentovou část spektrální funkce $X(j\omega)$ signálu se spojitým časem – posunutého obdélníkového impulsu: $x(t) = \begin{cases} 1 & \text{pro } -1 \leq t \leq 0 \\ 0 & \text{jinde} \end{cases}$. Všechny časy jsou v sekundách. Doporučuji kreslit pro kruhovou frekvenci ω od -6π rad/s do $+6\pi$ rad/s. Osy řádně označte a uveďte přesně hodnoty na nich.

modul viz A
posun $\tau = +0,5$ sec
 \Rightarrow vyčlepení fáze
0, 0,5 ω



Příklad 11 V programu je pole X o rozměrech 512×512 naplněné hodnotami Laplaceovy transformace $X(s)$ signálu se spojitým časem $x(t)$ (signál nemáte k dispozici). Reálná složka proměnné s byla vygerována jako 512 hodnot od -5 do $+5$ a určuje hlavní (řádkový) index pole X , imaginární složka proměnné s byla vygerována také jako 512 hodnot od -5 do $+5$ a určuje vedlejší (sloupcový) index pole X . Napište (kód nebo vysvětlení), jak naplníte vektor X_{jom} , kde bude spektrální funkce $X(j\omega)$ signálu $x(t)$.

viz A

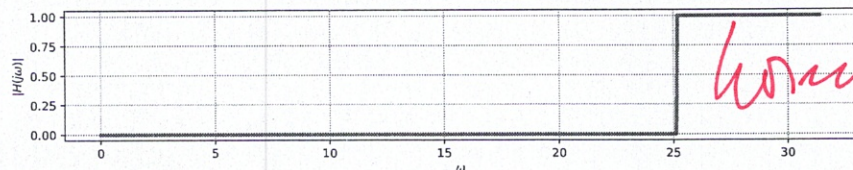
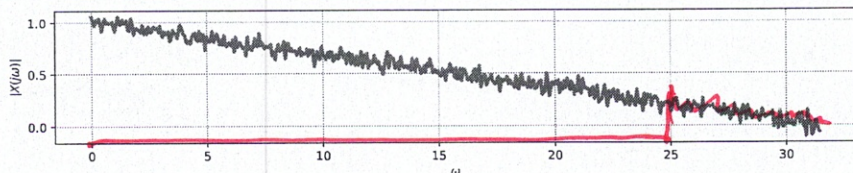
Příklad 12 Přenosová funkce systému se spojitým časem je $H(s) = \frac{0.3s-1}{0.5s+1}$. Napište výraz pro frekvenční charakteristiku takového systému.

$$H(j\omega) = \frac{0.3j\omega - 1}{0.5j\omega + 1}$$

Příklad 13 Krátce vysvětlete, jak se v diferenciální rovnici popisující chování systému se spojitým časem mohou objevit derivace. Opsání diferenciální rovnice ze seznamu rovnic nebo pouhé uvedení příkladu diferenciální rovnice nepovažuji za vysvětlení.

viz A

Příklad 14 Na prvním obrázku je modul spektrální funkce $X(j\omega)$ signálu na vstupu systému se spojitým časem. Na druhém obrázku je modul frekvenční charakteristiky systému $H(j\omega)$. Nakreslete modul spektrální funkce $Y(j\omega)$ na výstupu systému. Můžete kreslit do kteréhokoliv z obrázků.



viz A

konu propust!

Příklad 15 Dokažte, že jednocestný usměrňovač $y(t) = \begin{cases} x(t) & \text{pro } x(t) \geq 0 \\ 0 & \text{pro } x(t) < 0 \end{cases}$ není lineární tak, že na příkladu ukážete porušení podmínky linearity: $x_1(t) \rightarrow y_1(t)$, $x_2(t) \rightarrow y_2(t) \Rightarrow ax_1(t) + bx_2(t) \rightarrow ay_1(t) + by_2(t)$.

viz A

Příklad 16 Napište impulsní odezvu $h[n]$ diskrétního systému (číslíkového filtru), který převrací hodnotu a zpožďuje vstup: $y[n] = -x[n - 4]$.

viz C

Příklad 17 Odvoďte vztah pro numerický výpočet Fourierovy řady spojitého periodického signálu $x(t)$ s periodou T_1 . Pomůcka: počítejte s tím, že máte navzorkovanou přesně jednu periodu signálu a že počet získaných vzorků je N . Pokud ve výsledku vyjde diskrétní Fourierova transformace (DFT), jasně ji vyznačte.

viz A

Příklad 18 Napište kód v C, Python/Numpy nebo pseudokód pro vygenerování signálu s diskrétním časem, který při přehrání na vzorkovací frekvenci $F_s = 8000$ Hz bude kosinusovka na frekvenci $f_1 = 250$ Hz s trváním 2 sekundy. Výsledek nechte v poli x . Určení počtu vzorků je součástí řešení.

$F_s = 8000$
dále viz A

Příklad 19 Napište matematicky navzorkovaný signál $x_s(t)$, který vznikne násobením vzorkovaného signálu $x(t)$ se vzorkovacím signálem $s(t) = \sum_{n=-\infty}^{+\infty} \delta(t - nT_s)$, kde T_s je vzorkovací perioda. Napsat $x_s(t) = x(t)s(t)$ nestačí, výsledek chci jako jednu sumu.

$$x_s(t) = \sum_{n=-\infty}^{+\infty} \dots\dots\dots$$

viz A

Příklad 20 Nakreslete impulsní odezvu $h_{aa}[n]$ anti-aliasingového filtru pro podvzorkování (downsampling) diskrétního signálu vzorkovaného na $F_{s1} = 48$ kHz na nižší vzorkovací frekvenci $F_{s2} = 24$ kHz. Přesně napište, na které vzorkovací frekvenci bude anti-aliasingový filtr pracovat, přesně popište osy v obrázku.

